

## توزيع فوق هندسی تعمیم یافته دو جمله‌ای منفی در مدل شفایافته زمان پیشرفت

میترا رحیم‌زاده<sup>۱</sup>، احمد رضا باغستانی<sup>۲</sup>، بهروز کاوه‌نئی<sup>۳</sup>

<sup>۱</sup> مرکز تحقیقات عوامل اجتماعی موثر بر سلامت، دانشگاه علوم پزشکی البرز

<sup>۲</sup> دانشکده پیراپزشکی، دانشگاه علوم پزشکی شهید بهشتی

<sup>۳</sup> سازمان سنجش آموزش کشور

تاریخ دریافت: ۱۳۹۱/۸/۲۸ تاریخ آخرین بازنگری: ۱۳۹۲/۵/۱۳

**چکیده:** در تحلیل داده‌های بقا، اگر در پایان مطالعه با درصد بالایی از سانسسور مواجه شویم، چنانچه طول مدت مطالعه به اندازه کافی طولانی باشد، بهتر است از مدل‌های شفایافته استفاده شود. این مدل‌ها با ارائه فرایندی که بر اساس توزیع متغیر پنهان استوار است، در دهه اخیر مورد توجه قرار گرفته است. در این مقاله با درنظر گرفتن توزیع فوق هندسی تعمیم یافته دو جمله‌ای منفی برای متغیر پنهان مدل جدیدی برای تحلیل داده‌های بقا طولانی مدت به دست می‌آید. برآورده بیزی پارامترهای مدل با روش‌های عددی زنجیر مارکوفی مونت کارلویی به دست آورده می‌شود. کاربرد مدل برای داده‌های کارآزمایی بالینی درمان بیماران مبتلا به سیروز کبدی و داده‌های شبیه‌سازی شده، نشان داده می‌شود. با معیار اطلاع انحرافی، مدل فوق هندسی تعمیم یافته دو جمله‌ای منفی برآش بهتری به داده‌ها را نشان می‌دهد.

آدرس الکترونیک مسئول مقاله: احمد رضا باغستانی، baghestani.ar@gmail.com  
کد موضوع بنای ریاضی (۲۰۱۰): ۶۲N۰۱، ۶۲F۱۵

واژه‌های کلیدی : بقا طولانی مدت، مدل شفایافت زمان پیشرفت، توزیع فوق هندسی تعمیم یافته دو جمله‌ای منفی.

## ۱ مقدمه

در تحلیل داده‌های بقا طولانی مدت، با توجه به پیشرفت‌های به دست آمده در درمان بیمارها، در انتهای مطالعه با تعداد زیادی از موارد سانسور شده مواجه خواهیم شد. اگر طول مدت مطالعه به اندازه کافی طولانی باشد، استفاده از مدل‌های نسبت شفایافتگی<sup>۱</sup> نتایج بهتری خواهد داشت. دو رده عمدۀ از این مدل‌ها تحت عنوان مدل آمیخته و مدل نآمیخته در تحلیل داده‌های بقا طولانی مدت مطرح شده‌اند. در مدل شفایافتگی آمیخته (بوگ، ۱۹۴۹) هر فردی از جامعه با احتمال  $p$  دارای بقا یک و با احتمال  $p - 1$  دارای بقا یک نموده است، که به کمک یکی از توابع متداول بقا برآورد می‌شود (مالروژو، ۱۹۹۶). تابع بقا برای کل افراد مورد مطالعه در این مدل به صورت

$$S_p(t, x) = p(x) + (1 - p(x))S(t, x), \quad S(\infty) = 0, \quad S_p(\infty) = p > 0.$$

است، که در آن  $(x)$  نسبت شفایافتگی است که برای برآورد آن می‌توان از تابع ربط لوژستیک یا لگ-لگ مکمل استفاده کرد و  $S(t, x)$  تابع بقا برای افراد در معرض رخداد پیشامد می‌باشد. مدل شفایافتگی نآمیخته که توسط یاکولوف و سودیکوف (۱۹۹۶) ارائه شد و سپس چن و همکاران (۱۹۹۹) مکانیزمی بر اساس توزیع متغیر پنهان برای آن ارائه کرد، که این فرایند نیز توسط کونر و همکاران (۲۰۰۷) مورد بسط قرار گرفت. این مدل بر اساس توزیع متغیر پنهان  $N$  (تعداد سلول‌های سلطانی فعال پس از درمان بیماری) استوار است. اگر در درمان بیماری سلطان زمان لازم برای تولید تومور قابل شناسایی باشد،  $Z_i = 1, \dots, N$  نشان داده شود و  $Z_i$  هامتغیرهای تصادفی مستقل و هم توزیع با تابع توزیع تجمعی  $F(\cdot)$  و مستقل از  $N$  باشند در این صورت زمان عود مجدد بیماری بر اساس اولین فرایند فعال‌سازی کونر به صورت  $P(Z_i = \infty) = 1$  به دست می‌آید، که

---

<sup>۱</sup> Cure rate models

است. در نتیجه در صورتی که متغیر پنهان  $N$  دارای توزیع پواسون با پارامتر  $\theta$  باشد، تابع بقا برای متغیر تصادفی زمان  $T$  به صورت  $S_p(t; x) = \exp(-\theta(x)F(t))$  به دست می‌آید، که در آن  $F(t)$  یک تابع توزیع تجمعی برای متغیر نامتفقی است و مقدار  $\theta(x)$  از روی متغیرهای کمکی و با تابع ربط نمایی برآورد می‌شود.

در سال‌های اخیر توزیع‌های متفاوتی برای متغیر پنهان  $N$  در نظر گرفته شده است. برای مثال، اگر توزیع متغیر پنهان  $N$  برنولی در نظر گرفته شود مدل شفایافته آمیخته حاصل می‌شود. همچنین کونر و همکاران (۲۰۰۷) از توزیع هندسی، برنولی و دو جمله‌ای، بورگر و همکاران (۲۰۱۲) توزیع سری‌های توانی، رودریگرز و همکاران (۲۰۰۹) توزیع پواسون کانوی-ماکسول<sup>۲</sup> و با Gustanani و همکاران (۲۰۱۳) توزیع تعمیم‌یافته پواسون لیندلی را در مدل‌های شفایافته زمان پیشرفت ارائه کردند. شایان ذکر است توزیع متغیر پنهان می‌تواند هر یک از توزیع‌های گسسته که دارای جرم احتمال در نقطه صفر هستند، به منظور تبیین احتمال شفایافتنگی، باشد. به نظر می‌رسد رابطه نزدیکی بین توزیع‌هایی که در تحلیل داده‌های شمارشی و مدل‌های شفایافته زمان پیشرفت مورد استفاده قرار می‌گیرد، وجود دارد. مشکل دیگری که علاوه بر بیش پراکنشی در تحلیل داده‌های بقا وجود دارد، چوله بودن داده‌ها است، که دلیلی دیگر برای ارائه توزیع‌های متفاوت برای حل این مشکل است.

در این مقاله مدلی ارائه شده است، که در آن توزیع متغیر پنهان فوق هندسی تعمیم‌یافته دو جمله‌ای منفی<sup>۳</sup> (HGNB) است و حاصل آن مدلی انعطاف‌پذیر است که تعمیم‌یافته مدل‌های دو جمله‌ای منفی، لیندلی پواسون و تعمیم‌یافته آمیخته هندسی می‌باشد. در بخش بعدی توزیع فوق هندسی تعمیم‌یافته دو جمله‌ای منفی معرفی می‌شود. در بخش ۳ مدل شفایافته زمان پیشرفت با توزیع فوق هندسی تعمیم‌یافته دو جمله‌ای منفی و در بخش ۴ برآورد پارامترهای مدل با رهیافت بیزی ارائه و با معیار اطلاع انحرافی<sup>۴</sup> (DIC) ارزیابی می‌شوند. در بخش ۵ کاربرد مدل در یک سری داده واقعی ارائه خواهد شد و در بخش ۶ چگونگی شبیه‌سازی مدل

<sup>۲</sup> Conway-Maxwell-Poisson distribution

<sup>۳</sup> Hypergeometric generalized negative binomial distribution

<sup>۴</sup> Deviance Information Criteria

ارائه شده نشان داده می‌شود. بحث و نتیجه گیری در بخش نهایی ارائه می‌شود.

## ۲ توزیع فوق هندسی تعمیم یافته دو جمله‌ای منفی

در تحلیل داده‌های شمارشی با مشکل بیش پراکنشی، توزیع دو جمله‌ای منفی جایگزین مناسبی برای توزیع پواسون است. این توزیع، نمونه مشهوری از ترکیب توزیع گسسته پواسون با توزیع پیوسته گاما است. مثال دیگر که توسط قیستانی و همکاران (۲۰۰۲) ارائه شده است توزیع فوق هندسی تعمیم یافته دو جمله‌ای منفی نامیده می‌شود که توزیع آمیخته از توزیع پواسون با توزیع فوق هندسی همسار<sup>۵</sup> است.

فرض کنید  $X$  دارای توزیع پواسون با تابع جرم احتمال

$$f(x | \lambda) = \frac{e^{-\lambda} \lambda^x}{x!}, \quad x = 0, 1, \dots, \lambda > 0$$

باشد. اگر  $\lambda$  دارای تابع چگالی احتمال به صورت

$$g(\lambda) = \frac{\alpha^\nu (\alpha + 1)^{p-\nu}}{\Gamma(p)} \lambda^{p-1} e^{-(\alpha+1)\lambda} {}_1F_1(\nu; p; \lambda), \quad \lambda > 0, \quad \nu, p, \alpha > 0$$

باشد، که در آن  ${}_1F_1(\nu; p; \lambda) = \sum_{n=0}^{\infty} \frac{(\nu)_n \lambda^n}{(p)_n n!}$

$$(\nu)_n = 1, \quad (\nu)_n = \Gamma(\nu + n)/\Gamma(\nu), \quad n = 1, \dots$$

آنگاه تابع چگالی کناری  $X$  به صورت

$$f(x) = \frac{\alpha^\nu (\alpha + 1)^{p-\nu} (p)_x}{x! (\alpha + 2)^{x+p}} {}_2F_1(\alpha, x + p; p; \frac{1}{\alpha + 2}), \quad x = 0, 1, \dots \quad (1)$$

به دست می‌آید، که در آن  ${}_2F_1(a, b; c; z) = \sum_{n=0}^{\infty} \frac{(a)_n (b)_n}{(c)_n n!} \frac{z^n}{n!}$  تابع فوق هندسی است. توزیع فوق هندسی تعمیم یافته دو جمله‌ای منفی با نماد  $HGNB(\alpha, \lambda, p)$  نشان داده می‌شود. این توزیع در حالت‌های خاص به توزیع دو جمله‌ای منفی، لیندلی پواسون و تعمیم یافته آمیخته هندسی تقلیل می‌یابد.

<sup>۵</sup> Confluent hypergeometric function

تابع مولد احتمال این توزیع به صورت

$$G_x(t) = \frac{[1 - (t - 1)/(\alpha + 1)]^{\lambda-p}}{[1 - (t - 1)/\alpha]^\lambda}, \quad 0 < t < 1$$

است، میانگین، واریانس و شاخص بیشپراکندگی این توزیع نیز به صورت

$$E(X) = \frac{\lambda + p\alpha}{\alpha(\alpha + 1)}, \quad V(X) = \frac{\lambda(\alpha + 1)^3 - (\lambda - p)\alpha^2(\alpha + 2)}{\alpha^2(\alpha + 1)^2}$$

$$ID = \frac{\alpha(\alpha + 1)^3 - (\lambda - p)\alpha^2(\alpha + 2)}{\alpha(\alpha + 1)(\lambda + p\alpha)} > 1$$

به دست می‌آید. بنابراین این توزیع برای تمام مقادیر  $\lambda$  و  $p$  دارای بیشپراکنش است. همچنین بیشپراکنشی برای توزیع دو جمله‌ای منفی، لیندلی پواسون و تعمیم یافته آمیخته هندسی را وقتی  $(\lambda, p)$  به ترتیب برابر با  $(\lambda, \lambda)$ ,  $(1, 2)$  و  $(1, 2)$  باشد، می‌توان به دست آورد (قیانی و همکاران، ۲۰۰۲).

### ۳ مدل شفایافته زمان پیشرفت با توزیع فوق هندسی تعمیم یافته دو جمله‌ای منفی

در مدل شفایافته زمان پیشرفت با فرآیند فعال سازی انعطاف‌پذیری که توسط کونر و همکاران (۲۰۰۷) ارائه شده است، تابع بقا برای کل جامعه بر اساس اولین فرآیند فعال سازی به صورت

$$\begin{aligned} S_p &= P(N = \circ) + \sum_{n=1}^{\infty} P(Z_1 > t, \dots, Z_n > t)P(N = n) \\ &= \sum_{n=\circ}^{\infty} S(t)^n P(N = n) = G_N(S(t)) \end{aligned}$$

تعريف می‌شود، که در آن  $G_N(\cdot)$  تابع مولد احتمال متغیر تصادفی پنهان  $N$  می‌باشد. بنابراین تابع بقا و تابع چگالی برای کل جامعه به صورت

$$\begin{aligned} S_{p(t)} &= \frac{[(2 + \alpha - S(t))/\alpha + 1]^{\lambda-p}}{[(1 + \alpha - S(t))/\alpha]^\lambda} \\ f_p(t) &= -f(t)(\lambda - p)[\frac{2 + \alpha - S(t)}{\alpha} + 1]^{\lambda-p-1}[\frac{1 + \alpha - S(t)}{\alpha}]^{-\lambda} \\ &\quad + \lambda f(t)[\frac{2 + \alpha - S(t)}{\alpha} + 1]^{\lambda-p}[\frac{1 + \alpha - S(t)}{\alpha}]^{-\lambda-1} \end{aligned}$$

به دست می‌آید، که در آن  $(t)S$  تابع بقا زمان پیش‌رفت در زمان  $t$  است و می‌تواند هر یک از توابع متداول بقا مانند وایبول یا نمایی در نظر گرفته شود. نسبت شفایافتگی به صورت  $P(N = 0) = (\frac{\alpha}{1+\alpha})^{\lambda}(\frac{2+\alpha}{1+\alpha})^{\lambda-p}$  به دست می‌آید، که در آن  $\alpha = \exp(\beta' X)$

#### ۴ برآورد پارامترهای مدل

فرض کنید  $n$  تعداد افراد شرکت کننده در مطالعه و  $N_i$  تعداد سلیول‌های سرطانی فعال باقی مانده پس از درمان برای فرد  $i$ ام  $i = 1, \dots, n$  باشد. اگر  $Y_i$  و  $C_i$  به ترتیب مشخص کننده زمان بقا و سانسور شدگی برای فرد  $i$ ام باشد زمان مشاهده شده برای این فرد به صورت  $T_i = \min\{Y_i, C_i\}$  است به طوری که برای تابع نشانگر  $\sigma_i$  وقتی  $T_i = C_i = \sigma_i$  خواهیم داشت  $T_i = Y_i$  و در صورتی که  $T_i < \sigma_i$  آنگاه  $T_i = \sigma_i$  خواهد بود. بنابراین برای فرد  $i$ ام ماتریس مشاهدات  $\{T_i, \sigma_i, X_i\} = D_{obs}$  را خواهیم داشت که در آن  $X_i$  ماتریس در برگیرنده متغیرهای کمکی خواهد بود.

در این مقاله فرض می‌شود که  $N_i$  و  $Z_i$ ها مستقل از هم و  $N_i$  دارای توزیع فوق هندسی تعمیم یافته دو جمله‌ای منفی با تابع چگالی احتمال ارائه شده در (۱) است. به طوری که  $\lambda > 0$  و  $p > 0$  پارامترهای توزیع هستند. به شرط  $N_i = n_i$  زمان‌های مورد نیاز برای تولید تومور قابل تشخیص  $Z_i$ ها مستقل از هم و دارای توزیع وایبول ارائه شده در (۲) خواهند بود. بنابراین تابع درستنمایی به صورت

$$\begin{aligned} L(\alpha, \theta, \beta, \tau, \nu | D_{obs}) &= \prod_{i=1}^n S_p(t)^{1-\sigma_i} \times f_p(t)^{\sigma_i} \\ &= \left\{ \frac{((2+\alpha-S(t))/\alpha+1)^{\lambda-p}}{((1+\alpha-S(t))/\alpha)^\lambda} \right\}^{1-\sigma_i} \\ &\quad \times \left\{ -f(t)\left(\frac{\lambda-p}{\alpha}+1\right)\left(\frac{2+\alpha-S(t)}{\alpha+1}\right)^{\lambda-p-1}\left[\frac{1+\alpha-S(t)}{\alpha}\right]^{-\lambda} \right. \\ &\quad \left. + \lambda \frac{f(t)}{\alpha} \left[ \frac{2+\alpha-S(t)}{\alpha} + 1 \right]^{\lambda-p} \left[ \frac{1+\alpha-S(t)}{\alpha} \right]^{-\lambda-1} \right\}^{\sigma_i} \end{aligned}$$

به دست خواهد آمد، که در آن  $S(t)$  تابع بقا زمان لازم برای تولید تومور قابل تشخیص (زمان پیش‌رفت بیماری) و دارای توزیع وایبول است.

$$S(t) = \exp(-e^\tau t^\nu), \quad \nu > 0, \quad -\infty < \tau < -\infty \quad (2)$$

برای برآورد بیزی پارامترها توزیع‌های پیشین ناآگاهی بخش در نظر گرفته شده است به طوری کهتابع درستنمایی اثر غالب‌تری بر روی توزیع‌های پسین داشته باشد. بدون آسیب رساندن به کلیت موضوع می‌توان فرض کرد که توزیع‌های پیشین از هم مستقل هستند. برای ضرایب رگرسیون از توزیع ناآگاهی بخش یکنواخت به صورت  $\alpha(\beta, \Pi)$ ، برای پارامترهای توزیع وایبول  $\tau$  و  $\nu$  با توجه به دامنه شان به ترتیب از توزیع‌های نرمال و گاما و برای پارامترهای  $\lambda$  و  $p$  نیز از توزیع گاما استفاده شده است. در نتیجه توزیع‌های شرطی کامل برای پارامترهای مدل به صورت

$$\begin{aligned} p(\beta_k | D_{obs}, \beta_{(-k)}, \nu, \tau, p, \lambda) &\propto L(\beta, \nu, \tau, p, \lambda | D_{obs}) \times \pi(\beta_k) \\ p(\nu | D_{obs}, \beta, \tau, p, \lambda) &\propto L(\beta, \nu, \tau, p, \lambda | D_{obs}) \times \pi(\nu) \\ p(\tau | D_{obs}, \beta, \nu, p, \lambda) &\propto L(\beta, \nu, \tau, p, \lambda | D_{obs}) \times \pi(\tau) \\ p(p | D_{obs}, \beta, \nu, \tau, \lambda) &\propto L(\beta, \nu, \tau, p, \lambda | D_{obs}) \times \pi(p) \\ p(\lambda | D_{obs}, \nu, \tau, p, \lambda) &\propto L^m(\beta, \lambda | E, D_{obs}) \times \pi(\lambda) \end{aligned}$$

به دست می‌آیند، که در آن  $\beta_{(-k)}$  بردار  $\beta_k$  است که مولفه نام آن حذف شده است.  $\pi(\nu)$ ،  $\pi(\tau)$ ،  $\pi(p)$  و  $\pi(\lambda)$  توزیع‌های پیشینی مورد استفاده در مدل هستند. به واسطه پیچیدگی و ابعاد زیاد توزیع‌های توام فوق، امکان محاسبه توزیع پسینی پارامترهای مدل به روش تحلیلی وجود ندارد، لذا روش‌های زنجیر مارکوف مونت کارلویی، برای استنباط درباره پارامترهای مدل به کار برده می‌شود. برای این منظور با نمونه‌گیری متوالی از توزیع‌های شرطی کامل پارامترها با استفاده از الگوریتم متروپولیس هستیگر، زنجیرهای مارکوفی خواهیم ساخت که توزیع حدی این زنجیرها تقریب مناسبی از توزیع پسینی پارامترهای مدل می‌باشد.

برای مقایسه بیزی دو مدل پواسون (چن و همکاران، ۱۹۹۹) و دوجمله‌ای منفی (کانچو و همکاران، ۲۰۱۱) با مدل فوق هندسی تعمیم‌یافته دوجمله‌ای منفی معیار اطلاع انحرافی (اشپیگل هالت و همکاران، ۲۰۰۲) به کار گرفته می‌شود. این معیار هر

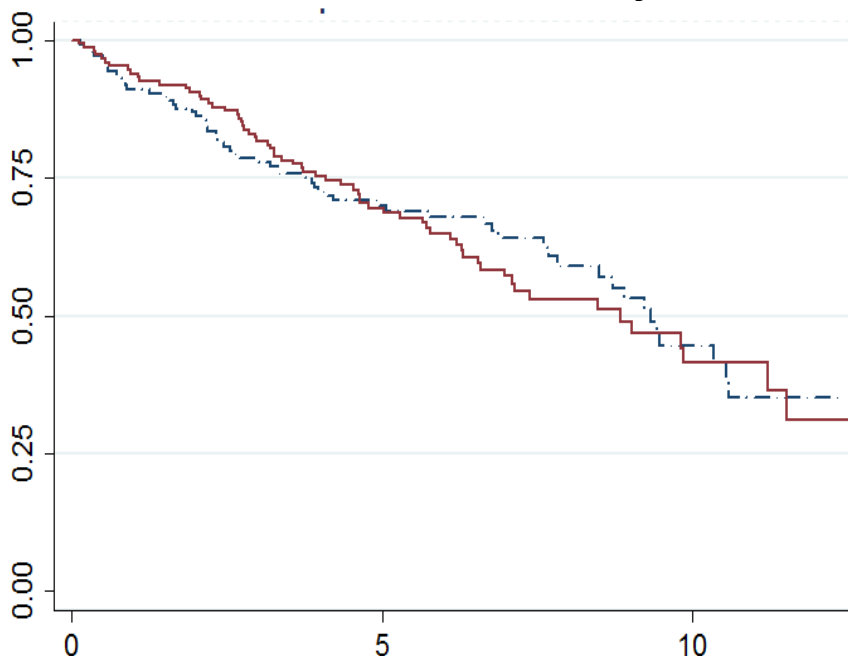
دو جنبه برآش و پیچیدگی مدل را دربر داشته و مشکلات تکنیکی مربوط به پیشینهای ناآگاهی بخشنامه را نداشت و به صورت  $DIC = \overline{D}(\theta) + P_D$  تعریف می‌شود، که در آن  $\overline{D}(\theta)$  میانگین پسین انحراف بوده و میزان برآش را نشان می‌دهد. براساس این معیار مدلی که دارای کمترین مقدار  $DIC$  باشد به عنوان بهترین مدل انتخاب می‌شود. این معیار برای هر اندازه نمونه قابل استفاده بوده و با روش‌های زنجیر مارکوف مونت کارلویی به آسانی قابل محاسبه است (هستینگز، ۱۹۷۰).

## ۵ مثال کاربردی

در مطالعه یک کارآزمایی بالینی دوسو کور ۴۲۴ بیمار مبتلا به سیروز کبدی طی سال‌های ۱۹۷۴ تا ۱۹۸۴ ثبت نام کردند. طبق پروتکل کارآزمایی و موافقت بیماران و پزشکان ۳۱۲ نفر به صورت تصادفی تحت درمان با دی‌پنسیلات (DPCA) یا دارو نما قرار گرفتند. برای این ۳۱۲ نفر تمام فاکتورهای کلینیکی، سرولوژی و اتیولوژی جمع‌آوری گردید. تا زمان پایان پیگیری (۱۹۸۶) ۱۲۵ نفر از این ۳۱۲ نفر فوت کرده بودند که تنها ۱۱ نفر به دلیل غیر از بیماری مورد نظر فوت کرده بودند و فقط پیگیری ۸ بیمار از دست رفته بود و ۱۹ نفر نیز تحت پیوند کبد قرار گرفتند که در این تحلیل حذف شده‌اند. از ۲۹۳ بیمار باقی‌مانده در این تحلیل ۱۴۸ نفر (۵۰/۵) تحت درمان با دارو قرار داشتند و ۸۸/۲۴ درصد از آنها مرد بودند. افراد شرکت‌کننده دارای حداقل ۲۷ سال و حداکثر ۷۹ سال با میانگین سنی ۵۰/۷۷ و انحراف استاندارد ۱۰/۶ بوده‌اند. کمترین زمان پیگیری برای بیماران در این مطالعه ۱/۵ ماه و بیشترین زمان پیگیری ۱۳ سال بوده است و ۱۱ درصد از بیماران پیگیری بیش از ۱۰ سال داشتند. ۵۷/۳۴ درصد از بیماران در این مطالعه سانسور شدند. در این کارآزمایی تعداد زیادی متغیر کمکی اندازه‌گیری شده بودند ولی در این تحلیل فقط متغیرهایی مورد بررسی قرار گرفته‌اند که از نظر بالینی مهم و به آسانی قابل اندازه‌گیری هستند. در نتیجه متغیرهای کمکی که در این تحلیل وارد شده‌اند عبارتند از درمان (۰ = دارونمایی، ۱ = دارو) و سایر متغیرها مانند سن، بیلی روبین، آلبومین و

پرتورومیین به ترتیب با میانگین و انحراف معیار  $(6/10, 26/3)$ ،  $(50/77, 10/65)$ ،  $(4/65, 26/3)$ ، و  $(10/75, 52/3)$  (فلمینگ و هارینگتون، ۲۰۰۵).

یکی از روش‌های متداول و ساده برای شناسایی وجود افراد شفایافته رسم نمودار کاپلان-مایر است. در صورت وجود افراد شفایافته این نمودار قبل از رسیدن به نقطه صفر به صورت خط افقی در می‌آید (پراک و مانتوگا، ۲۰۰۱). همان‌طور که در شکل ۱ ملاحظه می‌شود در این داده‌ها وجود افراد مصون تایید



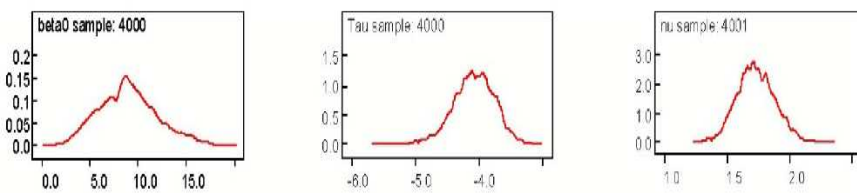
شکل ۱: نمودار کاپلان مایر متغیر درمان، دارو (خط پر) و دارونما (خط نقطه)

می‌شود. برای برآورد پارامترهای مدل، توزیع‌های پیشین

$$\tau \sim N(0, 1), \quad V \sim G(1, 1), \quad \lambda \sim G(1, 1), \quad p \sim G(1, 1)$$

برای پارامترهای مدل در نظر گرفته شده است. برای برازش مدل، برنامه مورد نظر در نرم‌افزار WinBUGS نوشته شده است (اشپیگل هالت و همکاران، ۲۰۰۳). پس از تولید نمونه‌ها برای تشخیص همگرایی از آماره گلمان - رویین (بروک و گلمان، ۱۹۹۸) استفاده شده تا دوره سوخت مناسب تعیین گردد. از آنجایی که مقدار این

آماره برای همه پارامترها کمتر از  $1/1$  بود، تعداد  $10000$  نمونه برای دوره تطبیق مناسب به نظر می‌رسد. در نتیجه  $40000$  نمونه بعدی به عنوان نمونه‌های حاصل از توزیع پسین پارامترها در نظر گرفته شد و برای کاهش همبستگی از هر  $10$  بار اجرا یک مرتبه نمونه‌گیری انجام گرفت. هموار بودن نمودارهای توابع چگالی پسین نشان دهنده همگرایی مناسب الگوریتم‌های زنجیر مارکوف مونت کارلو است. همچنین مشاهده می‌شود که نمودارهای تابع چگالی اثرات رگرسیونی تقریباً متقاضی بوده اما نمودارهای تابع چگالی پارامتر  $\lambda$  دارای چولگی است. پایدار بودن نمودارهای اثر پارامترها در دامنه‌ای معین، و نبود افت و خیزهای طولانی در این نمودارها، نشان از همگرایی الگوریتم‌های عددی زنجیر مارکوف مونت کارلو است. نمودارهای تابع چگالی بعضی از پارامترها در شکل ۲ نشان داده شده است. خلاصه



شکل ۲: نمودار تابع چگالی برای پارامترهای زمان بقا پیشرفت (وایبول) و مقدار ثابت

آماری پسین پارامترهای مدل فوق هندسی تعمیم یافته دو جمله‌ای منفی، شامل برآوردهای نقطه‌ای (میانگین، انحراف معیار) و بازه باورمند  $95\%$  پارامترها بر اساس نمونه با حجم  $4000$  تولید شده در جدول ۱ مشاهده می‌شود. از آنجایی که در مدل‌های شفایافت اثر متغیرهای کمکی بر روی نسبت شفایافتگی اندازه‌گیری می‌شود، تفسیر آنها با مدل‌های متداول بقا متفاوت است. علامت مثبت ضرایب رگرسیونی در این مدل شفایافت موجب افزایش نسبت شفایافتگی است، در صورتی که در مدل‌های متداول بقا علامت مثبت ضرایب رگرسیونی باعث افزایش خطر رخداد پیشامد می‌گردد. لذا با توجه به جدول ۱ ملاحظه می‌شود که متغیرهای میزان بیلی رویین و میزان آلبومین اثر منفی بر نسبت شفایافتگی دارند. به عبارت دیگر باعث کاهش نسبت شفایافتگی می‌شوند، متغیر پروترومیین دارای اثر مثبت بر نسبت

شفایاافتگی است و اثر متغیر درمان نیز معنی دار نیست. همچنین متغیر سن نیز به طور جزئی معنی دار است و ضریب منفی آن بیانگر آن است که با افزایش سن نسبت شفایاافتگی کاهش می‌یابد. نسبت شفایاافتگی بر اساس متغیر درمان و سطوح

| جدول ۱: برآورد پسینی میانگین، انحراف معیار و بازه باورمند ۹۵ |         |              |         |            |  |
|--|---------|--------------|---------|------------|--|
| پارامتر  | میانگین | انحراف معیار | صدک ۲/۵ | صدک ۹۷/۵   |  |
| -۳/۴۵۵   | -۴/۶۷۸  | ۰/۳۱۰        | -۴/۰۴۴  | ۷          |  |
| ۲/۰۲۲  | ۱/۴۴۹   | ۰/۱۴۷        | ۱/۷۲۱   | ۷          |  |
| ۱۴/۴۸۰   | ۲/۹۸۷   | ۳/۰۵۹        | ۸/۶۲۹   | مقدار ثابت |  |
| ۰/۴۳۷  | -۰/۸۹۱  | ۰/۳۳۰        | -۰/۲۱۸  | دارو       |  |
| -۰/۰۲۸   | -۰/۰۹۶  | ۰/۰۱۷        | -۰/۰۶۰  | سن         |  |
| -۰/۲۴۵   | -۰/۸۳۸  | ۰/۱۰۲        | -۰/۵۲۷  | بیلی رویین |  |
| ۲/۲۷۴  | ۰/۴۷۳   | ۰/۴۳۹        | ۱/۳۶۷   | پروترومبین |  |
| ۰/۲۲۴  | -۱/۱۹۶  | ۰/۲۵۹        | -۰/۷۴۲  | آلبومن     |  |
| ۰/۵۱۸  | ۰/۰۲۳   | ۰/۱۲۸        | ۰/۱۵۰   | p          |  |
| ۱۰/۳۵۰   | ۲/۹۳۳   | ۱/۸۵۸        | ۶/۳۱۳   | λ          |  |

مختلف بیلی رویین (چندک‌های ۲۵، ۵۰ و ۷۰) به شرط ثابت بودن سایر متغیرهای کمکی در مقدار میانگین‌شان در جدول ۴ نشان داده شده است. شایان ذکر است مقدار بیلی رویین برای چندک‌های ۲۵، ۲۵ و ۷۵ به ترتیب برابر ۰/۸، ۰/۳ و ۳/۴ است. همان‌طور که در جدول ۲ ملاحظه می‌شود با افزایش میزان بیلی رویین نسبت شفایاافتگی در هر سه مدل کاهش می‌یابد. همچنین نسبت شفایاافتگی در گروهی که دارو دریافت کرده‌اند بیشتر از گروه دارونما است، اگر چه این تفاوت معنی دار نیست. به نظر می‌رسد مدلی که نسبت شفایاافتگی بالاتری را برآورد کرده است، بهتر به داده‌ها برازش داشته است. برای انجام مقایسه بین مدل ارائه شده در این مقاله با مدل‌های قبلی، مدل پواسون (مدل ۱) و مدل دوجمله‌ای منفی (مدل ۲) به داده‌ها برازش داده شد. همان‌طور که در جدول ۳ ملاحظه می‌شود مدل شفایاافتگی با توزیع فوق هندسی تعمیم‌یافته دو جمله‌ای منفی (مدل ۳) با معیار اطلاع انحرافی ۷۴۷/۴۶ برازش بهتری در مقایسه با مدل پواسون و مدل دوجمله‌ای با معیار اطلاع انحرافی ۷۵۹/۵۸ و ۷۵۶/۳۸ به دست می‌دهد.

۵۶ ..... توزیع فوق هندسی تعمیم یافته دو جمله‌ای منفی در مدل شفایافت

جدول ۲: برآورده نسبت شفایافتگی در سطوح مختلف متغیر بیلی روبین برای مدل‌های مختلف

| میزان بیلی روبین |         |       |         |       |         | مدل |
|------------------|---------|-------|---------|-------|---------|-----|
| ۳/۴              |         | ۱/۳   |         | ۰/۸   |         |     |
| دارو             | دارونما | دارو  | دارونما | دارو  | دارونما | مدل |
| ۰/۶۳۱            | ۰/۵۵۶   | ۰/۷۲۰ | ۰/۶۸۳   | ۰/۸۱۲ | ۰/۷۸۵   | ۱   |
| ۰/۷۱۴            | ۰/۶۲۷   | ۰/۸۳۲ | ۰/۷۹۶   | ۰/۸۶۷ | ۰/۸۵۱   | ۲   |
| ۰/۸۰۶            | ۰/۷۳۸   | ۰/۹۶۵ | ۰/۹۵۰   | ۰/۹۷۷ | ۰/۹۶۷   | ۳   |

جدول ۳: معیار اطلاع انحرافی برای مدل‌های مختلف

| $\overline{D}(\theta)$ | PD   | DIC    | مدل |
|------------------------|------|--------|-----|
| ۷۵۱/۷۹                 | ۷/۷۹ | ۷۵۹/۵۸ | ۱   |
| ۷۴۸/۴۳                 | ۷/۹۵ | ۷۵۶/۳۸ | ۲   |
| ۷۳۹/۴۲                 | ۸/۰۴ | ۷۴۷/۴۶ | ۳   |

### مطالعه شبیه‌سازی

برای بررسی دقیق برآورده پارامترها، مطالعه‌ای شبیه‌سازی براساس مدل فوق هندسی تعمیم یافته دو جمله‌ای منفی با پارامتر زمان پیش‌رفت  $\tau = ۰.۵$  و  $\nu = ۰.۵$  (توزیع وایبول) انجام شده است. متغیر پنهان  $N$  از توزیع فوق هندسی تعمیم یافته دو جمله‌ای منفی با پارامترهای  $\varphi$  و  $\alpha$  تولید شده است، به‌طوری که  $P = -1$  دو جمله‌ای منفی با پارامترهای  $\varphi = -\beta_0$  و  $\alpha = \exp(\beta_0 + \beta_1 X)$  و  $\lambda = 2$  در صورتی که متغیر  $X$ ، دو حالتی باشد و مقادیر آن از توزیع برنولی با  $\pi = ۰/۵$  تولید شود. نسبت شفایافتگی در هر گروه برابر با  $38/5$  و  $29/5$  درصد به‌دست می‌آید. در صورتی که مقدار  $N$  صفر باشد، افراد شفایافت هستند در نتیجه زمان بقا برای این دسته از افراد طولانی خواهد بود و این مقدار زمان پایان مطالعه در نظر گرفته شده است. در صورتی که مقدار  $N$  مخالف صفر باشد به تعداد آن از توزیع وایبول با پارامترهای ذکر شده تولید می‌شود. به‌طوری که  $T = \min\{Y_1, \dots, Y_n\}$ . با روش ارائه شده نمونه‌هایی به حجم ۲۵۰ و ۵۰۰ با تکرار ۱۰۰ از توزیع فوق هندسی تعمیم یافته

دو جمله‌ای منفی تولید می‌شود و برآوردهای پارامترهای مدل بر اساس سه مدل (فوق هندسی تعمیم‌یافته دو جمله‌ای منفی و دو جمله‌ای منفی و پواسون) به دست آورده شده است. همان‌طور که در جدول ۴ ملاحظه می‌شود برآوردهای پارامترها در توزیع

جدول ۴: نتایج حاصل از شبیه‌سازی مدل P، NB و HGNB به حجم نمونه ۲۵۰ و ۵۰۰ با تکرار ۱۰۰

| n=۵۰۰            |          | n=۲۵۰            |          | مدل پارامتر   | $\beta_0$ | $\beta_1$ |
|------------------|----------|------------------|----------|---------------|-----------|-----------|
| میانگین خطای خطا | توان دوم | میانگین خطای خطا | توان دوم |               |           |           |
| ۰/۱۱۶            | ۰/۴۵     | ۰/۱۱۳            | ۰/۴۶     | $\tau$        |           |           |
| ۰/۱۷۱            | ۲/۱۵     | ۰/۱۶۳            | ۲/۱۳     | $\nu$         |           |           |
| ۰/۰۹۹            | -۰/۴۱    | ۰/۰۹۵            | -۰/۴۲    | $\beta_0$     | ۱         |           |
| ۰/۱۳۱            | ۱/۱۶     | ۰/۱۲۱            | ۱/۱۵     | $\beta_1$     |           |           |
| ۰/۱۱۵            | ۰/۵۱     | ۰/۱۱۲            | ۰/۰۳     | $\tau$        |           |           |
| ۰/۰۹۶            | ۲/۵      | ۰/۰۹۱            | ۲/۱۱     | $\nu$         |           |           |
| ۰/۱۰۱            | ۰/۳۸     | ۰/۰۹۷            | -۰/۴۱    | $\beta_0$     | ۲         |           |
| ۰/۱۰۵            | ۱/۱      | ۰/۱۰۱            | ۱/۱      | $\beta_1$     |           |           |
| ۰/۱۳۶            | ۲/۱۰۸    | ۰/۴۵             | ۱/۰۵     | $\lambda = p$ |           |           |
| ۰/۱۰۵            | ۰/۵۱     | ۰/۱۰۷            | ۰/۰۱     | $\tau$        |           |           |
| ۰/۰۶۱            | ۲/۰۱     | ۰/۰۶۶            | ۲/۰۳     | $\nu$         |           |           |
| ۰/۰۶۲            | -۰/۳۳    | ۰/۰۶۰            | -۰/۳۷    | $\beta_0$     | ۳         |           |
| ۰/۰۵۱            | ۰/۹۸     | ۰/۰۷۱            | ۰/۹۷     | $\beta_1$     |           |           |
| ۰/۲۶۱            | ۲/۰۲     | ۰/۲۸۰            | ۲/۰۲     | $\lambda$     |           |           |
| ۰/۰۷۰            | -۱/۰۸    | ۰/۰۸۰            | -۱/۱     | $p$           |           |           |

فوق هندسی تعمیم‌یافته دو جمله‌ای منفی نسبت به دو مدل دیگر به مقدار واقعی نزدیکترند. با توجه به نتایج شبیه‌سازی روش ارائه شده برای تحلیل این‌گونه داده‌ها مورد تایید است و با افزایش حجم نمونه نتایج بهتری به دست می‌آید.

### بحث و نتیجه‌گیری

مدل جدیدی در رده مدل‌های شفای‌یافته ناآمیخته تحت عنوان مدل‌های شفای‌یافته زمان پیشرفت ارائه شد که شامل مدل دو جمله‌ای منفی، متداول‌ترین توزیع در تبیین بیش

## ۵۸ .....توزيع فوق هندسی تعمیم یافته دو جمله‌ای منفی در مدل شفایافته

پراکنش داده‌ها، است. بر اساس معیار اطلاع انحرافی، میزان جریمه پیچیدگی برای مدل فوق هندسی تعمیم یافته دو جمله‌ای منفی بیشتر از مدل پواسون و دو جمله‌ای منفی است. بنابراین مدل دو جمله‌ای منفی در تبیین این بیش پراکنشی چندان موفق نبوده است. توزیع فوق هندسی تعمیم یافته دو جمله‌ای منفی وقتی  $p = \lambda$  باشد، به توزیع دو جمله‌ای منفی تقلیل می‌یابد. با توجه به برآوردهای این دو پارامتر فرض برابری آنها متفاوت است و می‌تواند یکی از دلایل عدم برآذش توزیع دو جمله‌ای منفی به این داده‌ها باشد. از آنجایی که این توزیع در حالت‌های خاص در بر گیرنده سایر توزیع‌ها است می‌توان از آن برای مقایسه بین مدل‌های مختلف استفاده کرد. مزیت دیگر مدل‌های شفایافته آن است که در صورت نبودن افراد شفایافته به مدل‌های متداول بقا تقلیل می‌یابند. مدل بقای متداول (بدون نسبت شفایافته) با تابع بقا وایبول برآزانده شده به داده‌ها در مقایسه با مدل‌های شفایافته نشان دهنده برآذش ضعیف مدل متداول بقا به این داده‌ها ( $DIC = 861/91$ ) است.

### منابع

- Baghestani, A. R., Rahimzadeh, M. and Pourhosseingoli, M, A. (2013), Generalized Poisson- Lindely Distribution in Promotion Time Cure Model, *Pakistan Journal of Statistics* (Submitted).
- Boag, J. W. (1949), Maximum Likelihood Estimates of the Proportion of Patients Cured by Cancer Therapy, *Journal of the Royal Statistics Society, B*, **11**, 15-44.
- Borges, P., Rodrigues, J. and Balakrishnan, N. (2012), Correlated Destructive Generalized Power Series Cure Rate Models and Associated Inference with an Application to a Cutaneous Melanoma Data, *Computational Statistics Data Analysis*, **56**, 1703-1713.

- Brooks, S. and Gelman, A. (1998), General Methode for Monitoring Convergence of Iterative Simulations, *Journal of Computational and Graph-ics Statistics*, **8**, 319-335.
- Cancho, V. G., Rodrigues, J. and De Castro, M. (2011), A Flexible Model for Survival Data with a Cure Rate: A Bayesian Approach, *Journal of Applied Statistics*, **38**, 57-70.
- Chen, M. H., Ibrahim, J. G. and Sinha, D. (1999), A New Bayesian Model for Survival Data with a Surviving Fraction. *Journal of the American Statistical Association*, **94**, 909-919.
- Cooner, F., Banerjee, S., Carlin, B. P. and Sinha, D. (2007), Flexible Cure Rate Modeling Under Latent Activation Schemes, *Journal of the American Statistical Association*, **102**, 560-572.
- Fleming, T. R., Harrington, D. P. (2005), Counting Processes and Survival Analysis, John Wiely & Sons.
- Ghitani, M. E., AL-Awadhi S. A. and Kalla S. L. (2002), On Hypergeo-metric Generalized Negative Binomial Distribution. *The International Journal of Mathematics and Mathematical Sciences*, **29**, 727-736.
- Hastings W. K, (1970), Monte Carlo Sampling Methods Using Markov Chains and Their Applications, *Biometrika*, **57**, 97-109.
- Maller, R. A. and Zhou, S. (1996), *Survival Analysis with Long-Term Sur-vivors*, John Wiely & Sons, U.K.
- Price, D. L. and Manatunga, A. K. (2001), Modeling Survival Data with a Cured Fraction Using Frailty Models, *Statistics in Medicine*, **20**, 1515-1527.

.....توزیع فوق هندسی تعمیم یافته دو جمله‌ای منفی در مدل شفایافته ۶۰

Rodrigues J., Castrode M., Cancho V. G. and Balakrishnan N. (2009),

COM-Poisson Cure Rate Survival Models and an Application to a Cutaneous Melanoma Data, *Journal of Statistical Planning and Inference*, **139**, 3605-3611.

Spiegelhalter, D. J., Best, N. G., Carlin, B. P. and Van Der Linde, A. (2002), A Bayesian Measures of Model Complexity and Fit, *Journal of Royal Statistical Society, B*, **64**, 583-639.

Spiegelhalter, D. J., Thomas, A., Best, N. and Lunn, D. (2003), WinBUGS User Manual, Version 1.4, MRC Biostatistics Unit, Institute of Public Health and Department of Epidemiology and Public Health, Imperial College, UK., available at: <http://www.mrcbsu.cam.ac.uk/bugs>.

Yakovlev, A. Y. and Tsodikov, A. D. (1996), Stochastic Models of Tumor Latency and Their Biostatistical Applications, World Scientific, Singapore, Hackensack.